

6967

СООБЩЕНИЯ
ОБЪЕДИНЕННОГО
ИНСТИТУТА
ЯДЕРНЫХ
ИССЛЕДОВАНИЙ



ДУБНА

Экв. чит. зала

1 - 6967

А.У.Абдурахимов, Н.Ангелов, В.А.Беляков,
К.П.Вишневская, В.Г.Гришин, И.А.Ивановская,
Ш.В.Иногамов, Т.Канарек, Е.Н.Кладницкая,
Д.М.Кохли, В.Б.Любимов, Н.Н.Мельникова,
В.М.Попова, М.Сабэу, М.И.Соловьев, Л.Н.Смирнова,
Х.Я.Супичаков, Ю.В.Тевзадзе, Н.Г.Фадеев,
Л.М.Щеглова, Г.Янчо

ИССЛЕДОВАНИЕ НЕКОТОРЫХ МЕТОДИЧЕСКИХ
ВОПРОСОВ, СВЯЗАННЫХ С ОБРАБОТКОЙ СОБЫТИЙ,
ЗАРЕГИСТРИРОВАННЫХ В 2-МЕТРОВОЙ
ПРОПАНОВОЙ ПУЗЫРЬКОВОЙ КАМЕРЕ ОИЯИ

1973

ЛАБОРАТОРИЯ ВЫСОКИХ ЭНЕРГИЙ

А.У.Абдурахимов, Н.Ангелов, В.А.Беляков,
К.П.Вишневская,¹ В.Г.Гришин, И.А.Ивановская,
Ш.В.Иногамов, Т.Канарек, Е.Н.Кладницкая,
Д.М.Кохли,² В.Б.Любимов, Н.Н.Мельникова,
В.М.Попова,¹ М.Сабэу, М.И.Соловьев, Л.Н.Смирнова,¹
Х.Я.Супичаков, Ю.В.Тевзадзе, Н.Г.Фадеев,
Л.М.Щеглова,¹ Г.Янчо

ИССЛЕДОВАНИЕ НЕКОТОРЫХ МЕТОДИЧЕСКИХ
ВОПРОСОВ, СВЯЗАННЫХ С ОБРАБОТКОЙ СОБЫТИЙ,
ЗАРЕГИСТРИРОВАННЫХ В 2-МЕТРОВОЙ
ПРОПАНОВОЙ ПУЗЫРЬКОВОЙ КАМЕРЕ ОИЯИ

¹ Физический факультет Московского государственного университета

² Физический факультет Пенджабского университета,
Чандигар, Индия

Введение

Двухметровая пропановая пузырьковая камера ОИЯИ /ДТПК-500/ ^{1/} была облучена в пучке π^- -мезонов с импульсом /40,00±0,24/ Гэв/с на ускорителе ИФВЭ /Серпухов/.

В работе ^{2/} дано описание оптической системы камеры и методики определения оптических констант.

В настоящей работе приводятся некоторые методические результаты обработки событий, зарегистрированных в камере: данные о точности определения пространственных координат в камере; выбор эффективной области регистрации звезд, γ -квантов и нейтральных странных частиц; ошибки измерения углов и импульсов вторичных частиц, а также точность определения параметров γ -квантов и критерии выделения тормозных γ -квантов.

§1. Точность определения пространственных координат в камере

Для определения точности восстановления координат в пространстве камеры было произведено измерение координат крестов, расположенных на верхнем стекле и дне камеры. Расположение крестов и выбранные при этом измерения системы координат изображены на рис. 1а, 1б. Система координат, используемая в камере при обсчете событий, приведена на рис. 1в.

На рис. 2 /а,б/ приведены распределения отклонений измеренных координат X и Y крестов от их положения на стеклах камеры. Каждая точка на рисунке соответствует среднему из 4-х независимых измерений каждого креста. Среднеквадратичное отклонение измеренных координат от положения крестов на плоскости XY оказалось равным $\sqrt{\langle r^2 \rangle} = \sqrt{(\Delta X)^2 + (\Delta Y)^2} = 81 \pm 7$ мкм, при этом измерения крестов на стекле и дне камеры показали, что точность восстановления Z -координаты в среднем составляет /440±60/ мкм.

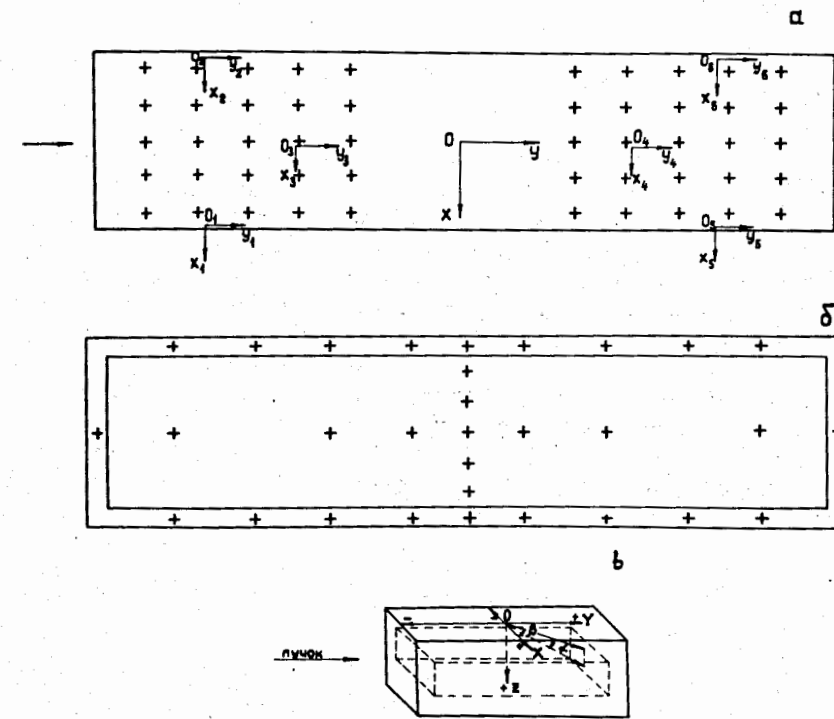


Рис. 1. а/ Реперные кресты на стеклах камеры; б/ Реперные кресты на дне камеры; в/ Расположение системы координат XY в камере. Угол β отсчитывается в плоскости XY от оси X, глубинный угол α отсчитывается от проекции трека на плоскость XY до трека по часовой стрелке.

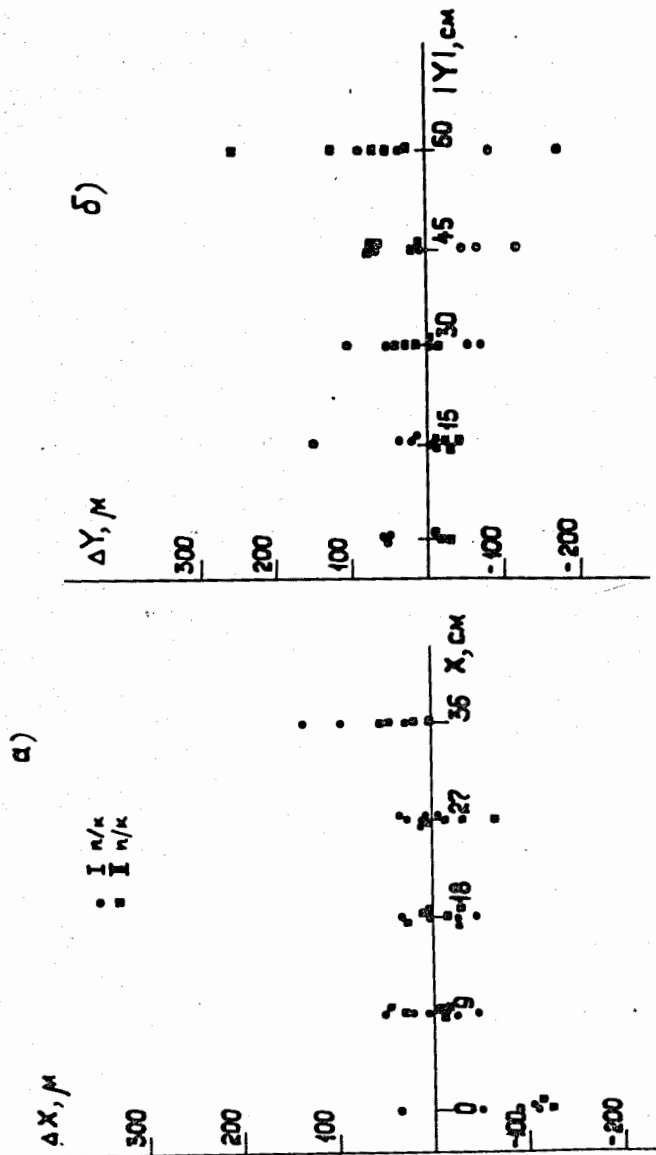


Рис. 2. Распределение отклонений восстановленных координат реперных крестов от их истинного положения на стеклах камеры: а/ по оси X; б/ по оси Y.

Приведенные погрешности характеризуют оптическую систему камеры и программу реконструкции координат ³. Считалось, что 4-кратное измерение крестов исключает ошибки измерений.

Для оценки измерительной ошибки в определении пространственных координат точек в камере были дважды измерены координаты точек взаимодействия первичных π^- -мезонов и точек конверсии γ -квантов по всему объему камеры. В таблице I приведены полученные значения среднеквадратичных ошибок измерения пространственных координат X, Y и Z для e^\pm и π^- -мезонов. Соответствующие распределения величин σ_X , σ_Y и σ_Z близки к нормальнym.

§2. Выбор эффективной области регистрации звезд и γ -квантов

Для выбора эффективной области регистрации звезд в камере были построены распределения по координатам X, Y, Z , углу β в плоскости XY и тангенсу глубинного угла α , относящиеся к первичным трекам, дающим звезды в I и II половинах камеры /рис. 3 и 4/. Эти распределения согласуются с попечерными размерами пучка, полученными с помощью счетчиков /рис. 5/. На основании этих распределений была выбрана эффективная область для регистрации звезд в первой половине камеры:

$$-4 \text{ см} \leq X_I \leq 6 \text{ см}$$

$$-88 \text{ см} \leq Y_I \leq -33 \text{ см}$$

$$22 \text{ см} \leq Z_I \leq 28 \text{ см}$$

$$1,557 \text{ рад} \leq \beta_I \leq 1,572 \text{ рад}$$

$$-0,013 \leq \operatorname{tg} \alpha_I \leq 0,009,$$

во второй половине камеры:

$$-3 \text{ см} \leq X_{II} \leq 7 \text{ см}$$

$$15 \text{ см} \leq Y_{II} \leq 70 \text{ см}$$

$$22 \text{ см} \leq Z_{II} \leq 28 \text{ см}$$

$$1,543 \text{ рад} \leq \beta_{II} \leq 1,562 \text{ рад}$$

$$-0,012 \leq \operatorname{tg} \alpha_{II} \leq 0,006.$$

ТАБЛИЦА I

Измерительные ошибки определения координат точек в камере

Среднеквадратичное отклонение в см	I		II	
	e^\pm	π^-	e^\pm	π^-
$\langle \sigma_x \rangle$	0,0095	0,0078	0,026	0,028
$\langle \sigma_y \rangle$	0,026	0,028	0,050	0,043
$\langle \sigma_z \rangle$	0,050	0,043		

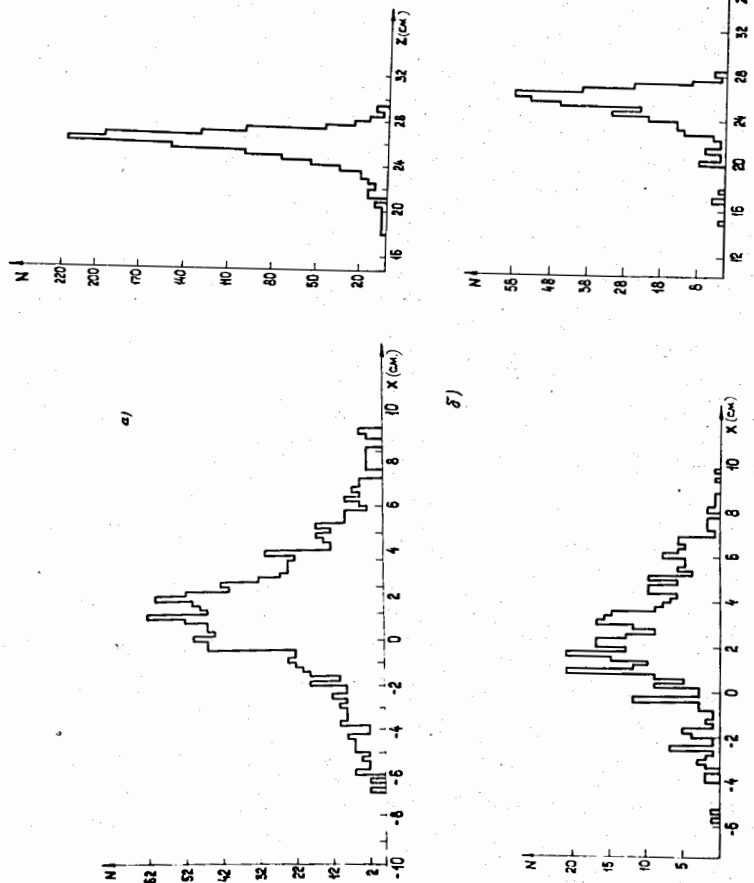


Рис. 3. а/ Распределение звезд по осям X, Z в первой половине камеры. б/ Распределение звезд по осям X, Z во второй половине камеры.

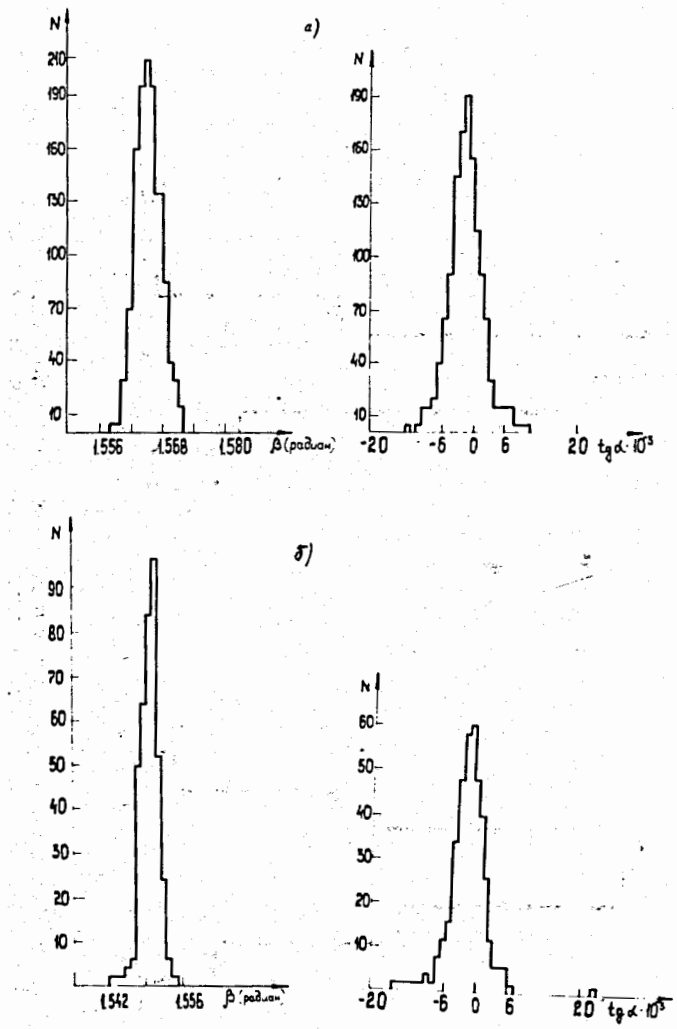


Рис. 4. а/ Распределения первичных p^- -мезонов по углу $\beta \sin \alpha$ в точке взаимодействия в первой половине камеры. б/ То же для второй половины камеры.

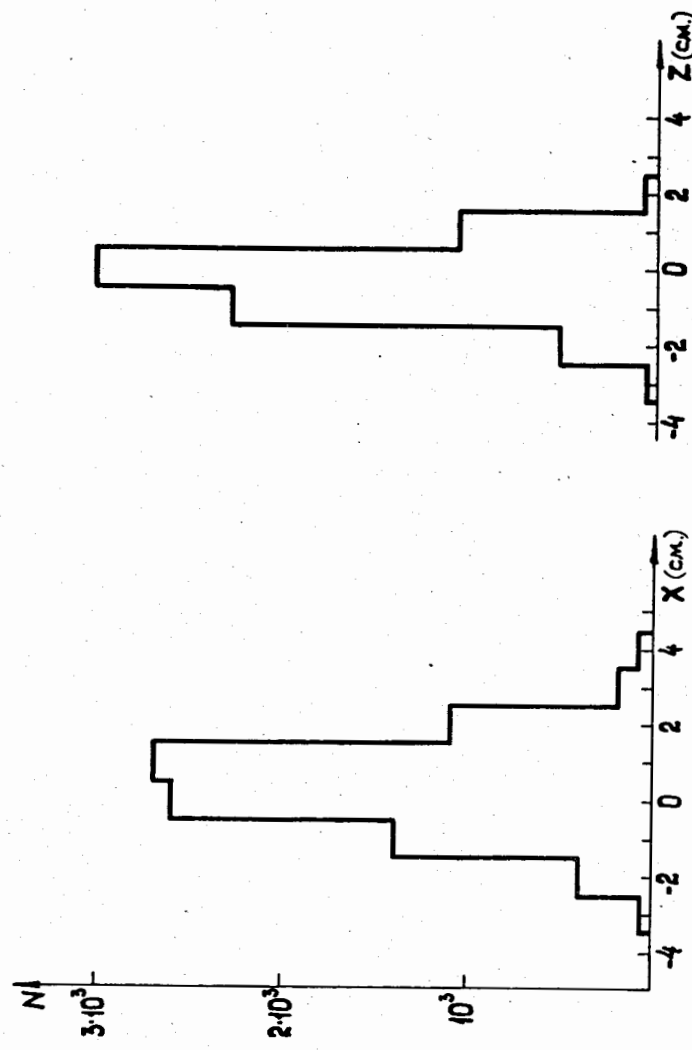


Рис. 5. Распределение первичных π^- -мезонов по осям X и Z , полученные с помощью счетчиков /начало отсчета X и Z произвольное/.

Угловой разброс частиц в пучке по данным счетчиков составлял $\Delta\beta \approx 0,6$ мрад, а $\Delta \lg a \approx 0,5 \times 10^{-3}$.

Размеры эффективной области регистрации γ -квантов и V° -частиц по осям X и Y определялись возможностью измерения продуктов распада. По оси X эффективная область регистрации была взята от -20 см до $+20$ см, по оси Y в I-ой половине камеры -90 см $\leq Y_I \leq -10$ см и во II-й половине 10 см $\leq Y_{II} \leq 90$ см. Для определения эффективной области регистрации γ -квантов и V° -частиц по оси Z была сделана специальная проверка: варьировалась область регистрации γ -квантов по оси Z при постоянной эффективной области регистрации звезд.

В случае одинаковой чувствительности камеры по глубине полное число γ -квантов с учетом эффективности их регистрации должно оставаться постоянным в пределах статистических ошибок. Результаты исследования приведены в таблице II.

Видно, что, начиная с нижней границы области регистрации звезд / 28 см/, имеется тенденция к уменьшению суммы весов γ -квантов. Этот эффект объясняется недостаточным освещением района дна камеры. Исходя из полученных данных, для регистрации γ -квантов и V° -частиц была выбрана область по Z от 2 до 30 см. Для оценки потерь γ -квантов, летящих в нижнюю полусферу, было проанализировано распределение γ -квантов по азимутальному углу ϕ в плоскости, перпендикулярной направлению первичного трека.

На рис. 6 представлено распределение γ -квантов с учетом эффективности их регистрации по азимутальному углу. Исходя из того, что распределение γ -квантов по азимутальному углу должно быть изотропным, и, считая, что все γ -кванты, летящие в верхнюю полусферу, регистрируются, можно оценить поправку к общему числу зарегистрированных γ -квантов. Она оказалась равной $1,09$. Аналогичное распределение для треков из звезд приведено на рис. 7. Как видно из рисунка, полученное распределение в пределах статистических ошибок согласуется с изотропным, т.е. потерей следов, идущих вниз, можно пренебречь.

§3. Выделение тормозных γ -квантов

Для выделения тормозных γ -квантов были рассчитаны эффективные массы пар γ -квантов $M_{\gamma\gamma}$ для событий с числом γ -квантов ≥ 2 . Для пар γ -квантов с $M_{\gamma\gamma} \leq 30$ Мэв/с 2 было построено импульсное распределение γ -квантов, имеющих меньшую величину импульса /рис. 8а/.

ТАБЛИЦА II
 γ -квантов с учётом эффективности регистрации при различном
выборе эффективной области по оси Z

Область регистрации γ -квантов по оси Z	Полное число γ -квантов с учётом эффективности регистрации при различном выборе эффективной области по оси Z								
	4428 см	8428 см	12428 см	16428 см	20428 см	20432 см			
N_f с всеврем.	6383± + 229	6409± ± 230	6420± + 332	6401± ± 250	6445± ± 250	6260± + 213	6053± + 200	5943± ± 195	5865± + 191

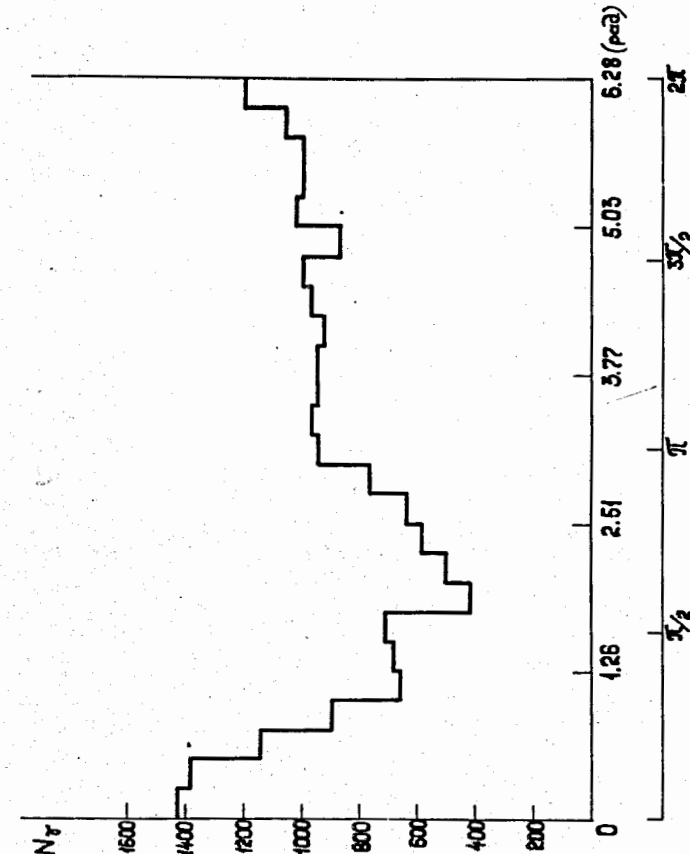


Рис. 6. Распределение γ -квантов с учётом эффективности регистрации по азимутальному углу ϕ .

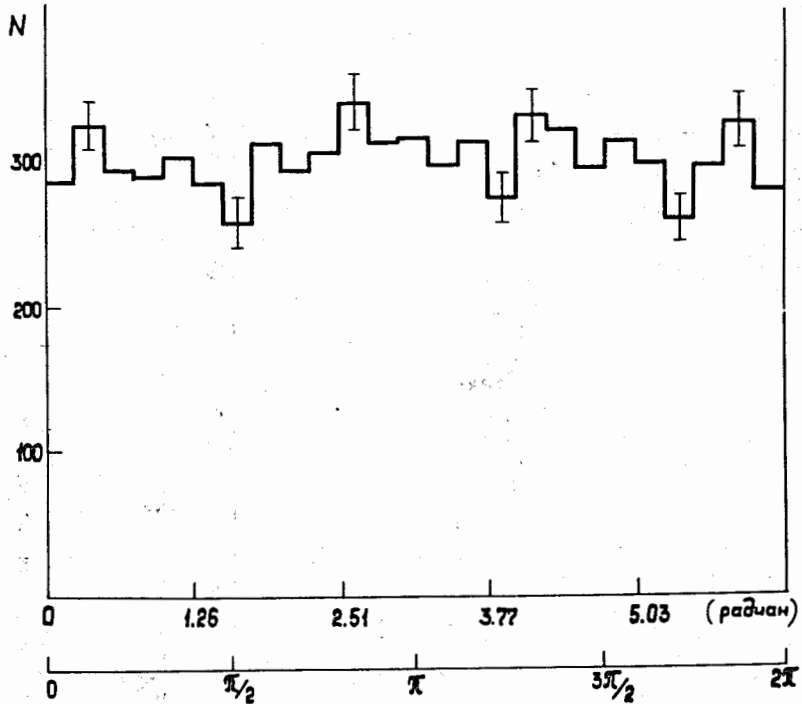


Рис. 7. Распределение треков из звезд по азимутальному углу ϕ .

Как видно из рисунка, это распределение хорошо описывается законом $1/P_y$, что ожидается для тормозных γ -квантов. Аналогичное распределение для пар γ -квантов с эффективной массой в интервале $30 \text{ Мэв}/c^2 \leq M_{yy} \leq 60 \text{ Мэв}/c^2$ резко отличается от закона $1/P_y$ /рис. 8/. На рис. 9 представлено распределение пар γ -квантов с $M_{yy} \leq 60 \text{ Мэв}/c^2$ по углу их разлета θ_{yy} . События с эффективной массой M_{yy} , лежащей в интервале $30 \text{ Мэв}/c^2 \leq M_{yy} \leq 60 \text{ Мэв}/c^2$, выделены штриховой. На основании этих распределений были выбраны следующие критерии для выделения тормозных γ -квантов.

Тормозным считается γ -квант из пары, для которой $a/M_{yy} \leq 30 \text{ Мэв}/c^2$,

б) угол разлета $\theta \leq 0,025$ рад, имеющий меньший импульс и расположенный дальше от звезды. Общее число γ -квантов, удовлетворяющих этим критериям, составляет $\approx 3\%$ от полного числа зарегистрированных γ квантов.

§4. Точности измерения параметров треков π^\pm -мезонов, электронов и позитронов

Характеристикой качества измерения треков являются величины χ^2_{xy} и χ^2_z , рассчитанные на одну степень свободы /4/. Для выбора критерия хорошего измерения были построены распределения треков первичных π^- -мезонов, а также электронов и позитронов от γ -квантов по этим величинам /рис. 10/. На основании приведенных распределений были выбраны критерии хорошего измерения треков: $\chi^2_{xy} < 3,5$, $\chi^2_z < 3,5$. Средние значения для треков электронов и позитронов оказались равными $\langle \chi^2_{xy} \rangle = 0,74$, $\langle \chi^2_z \rangle = 0,87$ при теоретическом значении $\langle \chi^2 \rangle = 1$.

Для треков, удовлетворяющих критериям, приведенным выше, были определены ошибки измерения импульсов и углов. В таблице III приведены средние относительные ошибки измерения импульсов вторичных π^\pm -мезонов в зависимости от длины трека.

Следует отметить, что средняя длина вторичных треков из звезд равна $\langle L \rangle = 131,3 \pm 0,2$ см, а треки с длиной > 20 см составляют $70,3\%$. На рисунке 11 приведено распределение относительных ошибок в определении импульсов частиц, имеющих длину следа $L > 20$ см. Видно, что максимум этого распределения соответствует $\approx 6,5\%$. Для электронов и позитронов $\langle \Delta P/P \rangle = 12,6 \pm 0,3\%$. Средние ошибки измерения углов для треков вторичных частиц из звезд равны:

$$\langle \Delta \tan \alpha \rangle = 0,0061 \pm 0,0001,$$

$$\langle \Delta \beta \rangle = 0,0037 \pm 0,0001 \text{ рад.}$$

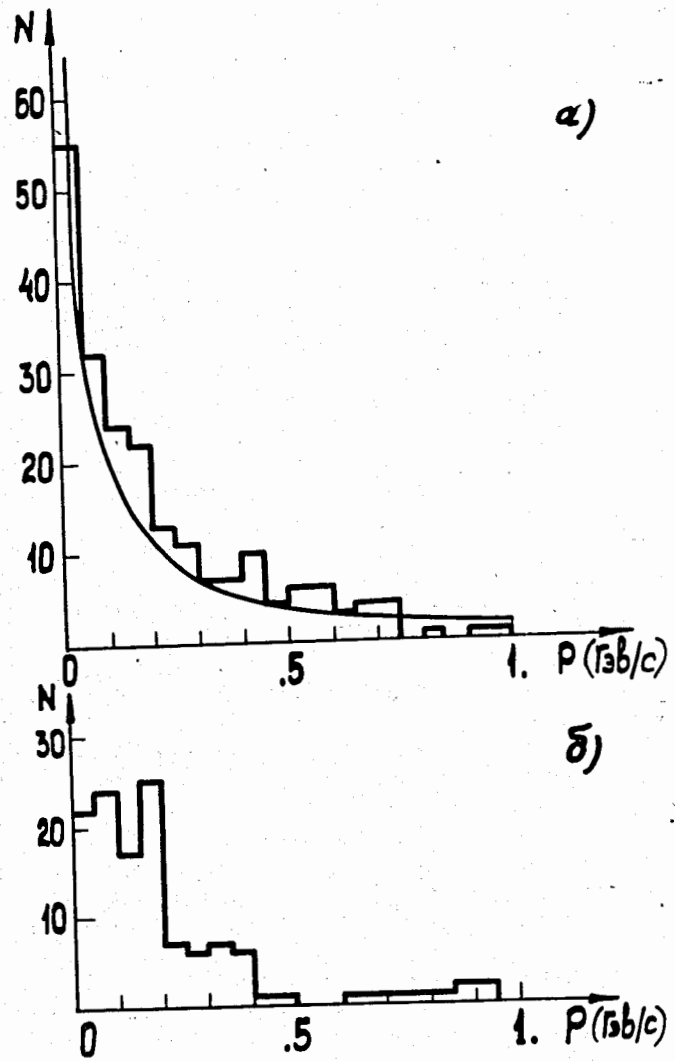


Рис. 8. Импульсное распределение γ -квантов с меньшим импульсом из пары γ -квантов, имеющих эффективную массу $M_{\gamma\gamma}$ в интервале а/ $0 \leq M_{\gamma\gamma} \leq 30 \text{ Мэв}/c^2$, б/ $30 < M_{\gamma\gamma} < 60 \text{ Мэв}/c^2$

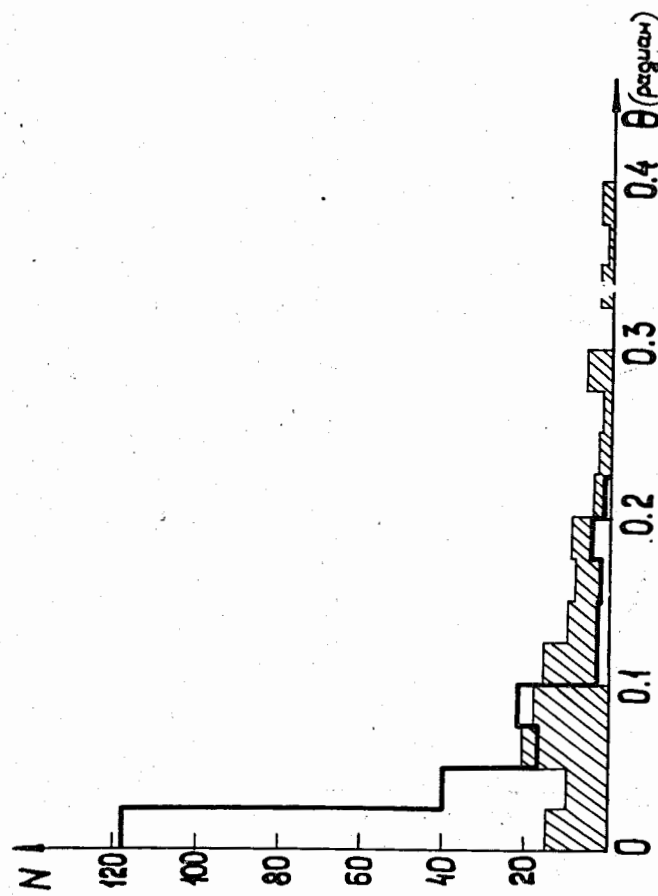


Рис. 9. Распределение событий с $0 \leq M_{\gamma\gamma} \leq 60 \text{ Мэв}/c^2$ по углу разлета двух γ -квантов

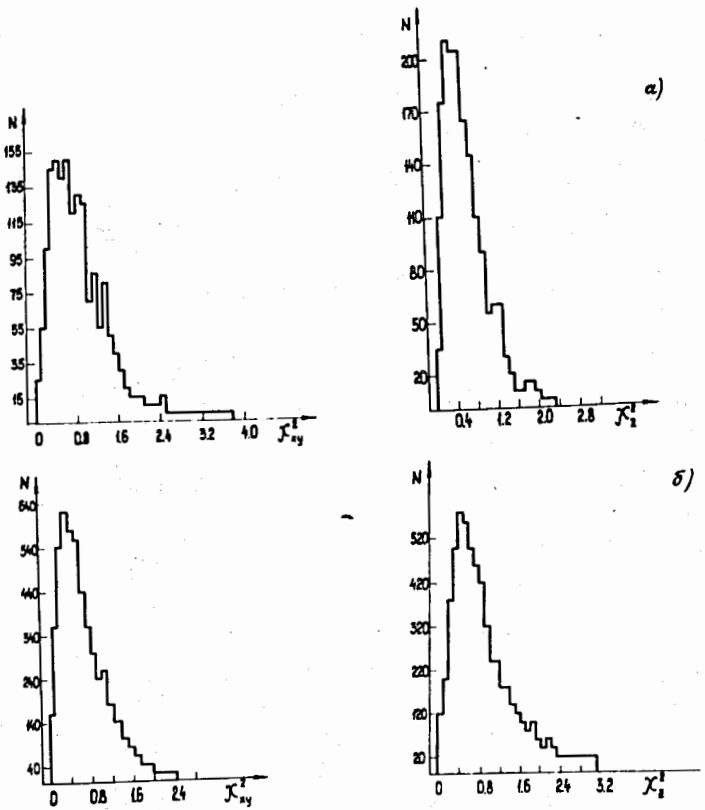


Рис. 10. а/ Распределения первичных π^- -мезонов по величинам X_{xy}^2 . б/ Распределения электронов и позитронов от y -квантов по величинам X_{xy}^2 и X_z^2 .

ТАБЛИЦА III

Средние относительные ошибки измерения импульсов
вторичных π^\pm -мезонов

L	$L < 10 \text{ см}$	$10 \text{ см} \leq L \leq 20 \text{ см}$	$L > 20 \text{ см}$	Все L
$\Delta\%/\rho(\%)$	$26,9 \pm 0,7$	$17,6 \pm 0,4$	$9,7 \pm 0,1$	$13,9 \pm 0,3$
% от полного числа греков	$12,7\%$	$17,0\%$	$70,5\%$	100%

Для электронов и позитронов $\langle \Delta \operatorname{tg} \alpha \rangle = 0,0175 \pm 0,0005$,
а $\langle \Delta \beta \rangle = /0,0105 \pm 0,0003/ \text{ рад.}$

На основании измеренных углов и импульсов электронов и позитронов с помощью программы подгонки определялись параметры γ -квантов: импульс, угол β , $\operatorname{tg} \alpha$ и X_y^2 / s . Средние точности определения параметров γ -квантов оказались равными: $\langle \Delta P/P \rangle_{\gamma} = /12,4 \pm 0,1/\%$,

$$\langle \Delta \operatorname{tg} \alpha \rangle_{\gamma} = 0,00317 \pm 0,00003,$$

$$\langle \Delta \beta \rangle_{\gamma} = /0,0045 \pm 0,0001/ \text{ рад.}$$

На рис. 12 представлено распределение γ -квантов по величине X_y^2 . Гамма-квант считался относящимся к звезде, если для него $X_y^2 < 11$. Среднее значение $\langle X_y^2 \rangle = 2,55 \pm 0,05$, с $\sigma_{X_y} = 2,47$. Теоретическое значение величины $\langle X_y^2 \rangle = 3$ с $\sigma_{X_y} = 2,45$.

Для проверки всей системы обработки событий были рассчитаны эффективные массы $M_{\gamma\gamma}$ для пар γ -квантов с $X_y^2 < 11$

и углом разлета $\theta \geq \theta_{MIN} - 2\Delta\theta_{MIN}^*$, где $\theta = 2 \arctg \frac{M \pi^0}{P_{\gamma\gamma}}$

$$\Delta\theta_{MIN} = \frac{2M \pi^0 \Delta P_{\gamma\gamma}}{M_{\pi^0}^2 + P_{\gamma\gamma}^2}.$$

Для области $100 \text{ Мэв/c}^2 \leq M_{\gamma\gamma} \leq 170 \text{ Мэв/c}^2$, что соответствует трем стандартным отклонениям от максимума распределения, среднее значение $\langle M_{\gamma\gamma} \rangle = /136 \pm 2/ \text{ Мэв/c}^2$ с $\sigma_{M_{\gamma\gamma}} = 14 \text{ Мэв/c}^2$. Это значение хорошо согласуется с табличным значением массы π^0 -мезона, равным $M_{\pi^0} = 134,975 \text{ Мэв/c}^2$.

Кроме этого были рассчитаны эффективные массы для Λ^0 -событий Λ^0 и K^0 , распадающихся по схеме $\Lambda^0 \rightarrow p \pi^+$ и $K^0 \rightarrow \pi^+ \pi^-$.

Средние значения оказались равными:

$$\langle M_{\Lambda^0} \rangle = /1,1163 \pm 0,0011/ \text{ Гэв/c}^2$$

$$\langle M_{K^0} \rangle = /0,4966 \pm 0,026/ \text{ Гэв/c}^2$$

Хорошее согласие полученных масс π^0 -, K^0 -мезонов и Λ^0 -гиперонов с их табличными значениями указывает на отсутствие заметных систематических ошибок в определении импульсов и углов вылета вторичных частиц, а также в их идентификации.

*Гамма-кванты с углом разлета, меньшим $\theta = \theta_{MIN} - 2\Delta\theta_{MIN}$, считались продуктами распада разных π^0 -мезонов.

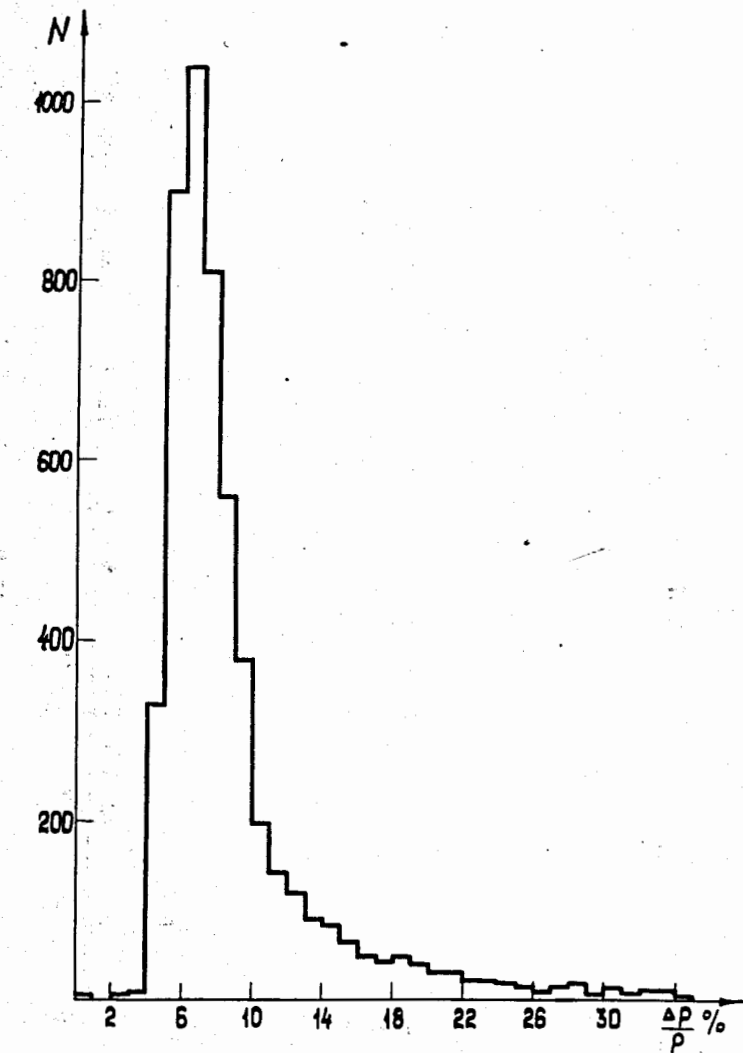


Рис. 11. Распределение относительных ошибок определения импульса вторичных частиц с длиной следа $L > 20 \text{ см.}$

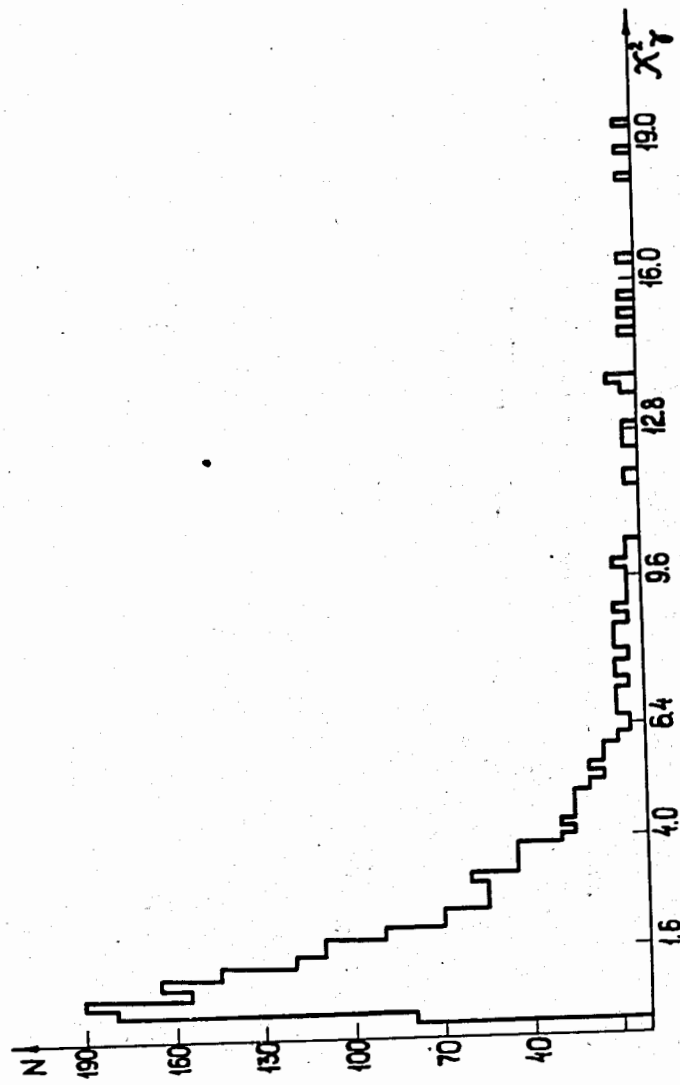


Рис. 12. Распределение $\chi^2 - Y^2$ по величине $X^2 - Y^2$.

В заключение авторы выражают благодарность коллективу, обслуживающему 2-метровую пропановую камеру, ведущим инженерам: Н.А.Смирнову, Н.А.Коржеву и сотрудникам СНЭО ИФВЭ за проведение облучения. Мы признательны Нгуен Дин Ты и В.Н.Пеневу за полезные обсуждения, а также благодарим наших лаборантов за большую помощь, оказанную при выполнении настоящей работы.

Литература

1. M.P.Balandin, N.G.Borisov et al. *Nucl. Instr. and Meth.*, 20, 110, 1963.
2. Нгуен Дин Ты, В.Н.Пенев, Н.А.Смирнов, М.И.Соловьев. Сообщения ОИЯИ, 13-5942, Дубна, 1971.
3. А.У.Абдурахимов, Нгуен Дин Ты, В.Н.Пенев. Сообщения ОИЯИ, 1-5140, Дубна, 1970.
4. Н.Ф.Маркова, В.И.Мороз, В.И.Никитина, А.П.Стельмах, Г.М.Тентюкова. Препринт ОИЯИ, Р10-3768, Дубна, 1968.
5. К.П.Вишневская, Нгуен Дин Ты, В.Н.Пенев, Ю.В.Тевзадзе, Сообщения ОИЯИ, 1-5978, Дубна, 1971.

Рукопись поступила в издательский отдел
27 февраля 1973 года.